SiO_{2f}/SiO₂透波复合材料防潮涂层性能研究

毛帮笑 夏细胜 李春辉 张晓飞 刘 威 杨广任 符慧斌 吕海花 徐东宏 (北京新风航天装备有限公司,北京 100854)



摘要: 石英纤维增强石英陶瓷基 (SiO_{2f}/SiO₂)复合材料因其固有特性易发生吸潮,严重影响 其透波性能,通过对 SiO_{2f}/SiO₂复合材料进行疏水改性、封孔层及面漆层处理得到高性能防潮涂 层。涂层具有优异的疏水性,封孔层有效填充孔隙,同时面漆层形成致密薄膜,进一步提高整体 防潮性能。涂层附着力、介电性能皆满足使用要求,涂敷防潮涂层后,样品 24h 泡水增重率从 10% 降至 0.4%,交变湿热吸湿率从 8%降至 0.6%。涂层将 SiO_{2f}/SiO₂复合材料的弯曲强度提高了 33.9%。 经过石英灯烧蚀,涂层碳化极少,表明其高温透波性能优异。此外,涂层通过组合级环境试验,

该防潮涂层可有效解决航天透波结构件的吸潮难题。

关键词: SiO2f/SiO2复合材料: 防潮涂层: 疏水性: 吸湿率: 介电性能

中图分类号: V 文献标识码: A

Properties of Moisture-proof Coating of SiO_{2f}/SiO₂ Wave-transparent Composites

Mao Bangxiao Xia Xisheng Li Chunhui Zhang Xiaofei Liu Wei Yang Guangren Fu Huibin
Lv Haihua Xu Donghong
(Beijing Xinfeng Aerospace Equipment Co., Ltd., Beijing 100854)

Abstract: Quartz fiber reinforced quartz ceramic matrix SiO_{2t}/SiO₂ composites is prone to moisture absorption due to the inherent characteristics, which seriously affects the wave-transparent property. The SiO_{2t}/SiO₂ composites is subjected to hydrophobic modification, hole sealing layer and topcoat layer to obtain a high-performance composite moisture-proof coating. The coating has excellent hydrophobicity. The hole sealing layer effectively fills the pores, and at the same time the topcoat layer forms a dense film to further improve the moisture resistance. The coating adhesion and dielectric properties meet the requirements. After the moisture-proof coating is applied, the weight gain rate of the sample decreases from 10% to 0.4% after soaking in water for 24h, and the moisture absorption rate decreases from 8% to 0.6% after the alternating humidity and temperature test. The coating increases the bending strength of the SiO_{2t}/SiO₂ composites by 33.9%. After the ablation of the quartz lamp, the coating carbonization is very little, indicating that the wave-transparent property of high-temperature is excellent. In addition, the coating passes the combinatorial environmental test. The moisture-proof coating can effectively solve the moisture absorption problem of aerospace wave-transparent structural parts.

Key words: SiO_{2f}/SiO_2 composites; moisture-proof coating; hydrophobicity; moisture absorption rate; dielectric properties

1 引言

天线窗用于保护天线,避免其遭受外界环境影响,

并保证接收信号的准确性,是导弹、火箭、飞船等航天飞行器的重要结构件[1]。石英纤维增强石英陶瓷基(SiO_{2f}/SiO_2)复合材料具有低密度、优异的力学、抗

热震、耐高温、耐烧蚀和透波性能,是重要的天线窗材料^[2·3]。但是 SiO_{2f}/SiO₂ 复合材料固有的特性导致其极易吸潮,未经防潮处理的 SiO_{2f}/SiO₂ 复合材料吸潮率可达到 5%~10%。一方面,水是电磁波高损耗介质导致 SiO_{2f}/SiO₂ 复合材料的介电性能下降,严重降低天线接收信号的准确性;另一方面,复合材料吸潮会降低其力学强度^[4],限制材料的应用。因此,有必要通过制备防潮涂层提高天线窗的防潮性能。

目前 SiO_{2f}/SiO₂ 复合材料天线窗防潮涂层体系主要包括无机涂层和有机涂层。

无机涂层材料体系主要为低介电的陶瓷涂层,包括二氧化硅、氮化硅、氮化硼和微晶玻璃等[5]。无机涂层的优点为致密性高、耐高温、抗烧蚀,而且在高温下无碳化、不会产生残碳,能够保持优异的透波性能;缺点是制备工艺复杂、高的烧结温度对材料损伤较大、难以大面积应用,常常由于涂层与基体间的热膨胀系数不匹配,导致涂层开裂和脱落。韦其红等以Li₂O-Al₂O₃-SiO₂材料体系为基础,采用溶胶-凝胶法在多孔氮化硅表面制备了陶瓷封孔防潮涂层,使基体吸水率下降了90.99%~96.97%^[6]。刘建等以硅溶胶与石英粉为原材料,在多孔氮化物陶瓷表面烧结得到致密的SiO₂涂层,使得材料的吸水率降至0.49%,弯曲强度提高46.3%^[7]。

有机涂层材料体系主要为有机硅树脂体系、有机氟 树脂体系、聚偏氟乙烯及聚苯硫醚体系等[8~10]。上述树 脂体系在常温下均具有优异的防潮性能,其中有机硅树 脂体系和有机氟树脂体系应用最为广泛。有机硅树脂的 侧链通常含有甲基、苯基等基闭, 使其具有优异的憎水 性、耐候性、耐热性及优异的粘附力。有机氟树脂具有 稳定的、螺旋式分布的 C-F 化学键, 使其具有优异的 憎油憎水性。崔唐茵等以有机硅树脂、有机氟树脂和熔 融石英粉为原料体系,在石英基体表面制备了防潮涂 层,封孔防潮后基体强度显著提高,同时防潮抗水性能 也得到大幅度提高[11]。李红彬等以甲基硅树脂、柔性 有机硅树脂和石英粉为原料体系,在石英纤维增强石英 陶瓷复合材料表面制备了功能防潮涂层;涂层的疏水效 果良好,涂层的附着力与介电性能优异;防潮性能优异, 试样经 24h 泡水后吸水率仅为 0.3%[12]。虽然有机涂层 体系制备工艺简单,但是其涂层碳含量高,在高温下均 会碳化,降低其高温下通信能力。

本文通过对 SiO_{2f}/SiO₂ 复合材料基体进行疏水改性、封孔层及面漆层处理得到防潮涂层。依次针对防潮涂层试样的疏水性能、微观形貌、硬度和附着力、

介电性能、抗温度冲击性、防潮性能及弯曲性能展开研究。此外,依据天线窗产品热环境条件进行 700℃的石英灯高温模拟热流试验,研究其高温透波性能。最后,对防潮涂层天线窗进行组合级环境试验。

2 实验

2.1 实验原料

疏水剂 206C、乙酸乙酯、有机硅树脂 SR2082、800 目石英粉、柔性硅树脂 OF-61。

2.2 涂层制备

将 SiO_{2f}/SiO₂ 复合材料基体表面清理干净, 依次制备疏水层、封孔层、面漆层, 得到防潮涂层。

2.2.1 疏水层

将 SiO₂//SiO₂ 复合材料基体浸渍于疏水剂 206C 中,保持浸渍一定时间,然后放置于鼓风烘箱中固化。采用疏水剂对 SiO₂//SiO₂ 复合材料基体表面进行疏水基团改性,将亲水型表面转变为憎水型表面。

2.2.2 封孔层

将有机硅树脂 SR2082、乙酸乙酯、石英粉按照5:4:8 的比例混合并搅拌均匀形成防潮涂料,将防潮涂料刮涂至基体表面,然后放置于鼓风烘箱中固化。固化完成后,用砂纸打磨至基体,保证整个表面平整。该层可填充基体表面孔隙,减小了基体的比表面积,降低了材料的物理吸潮活性。

2.2.3 面漆层

将柔性硅树脂 QF-61、乙酸乙酯按照 10:7 的比例 配制面漆涂料,将面漆涂料均匀喷涂至封孔后的基体 表面,然后放置于鼓风烘箱中固化。固化完成后,制 备得到防潮涂层。

2.3 性能测试

2.3.1 疏水性能测试

对疏水改性样品进行疏水性能测试,测试其接触角。

2.3.2 微观形貌测试

对防潮涂层样品进行 SEM 测试,观察其微观形貌。

2.3.3 硬度、附着力测试

按照 GB/T 6739—1996 涂膜硬度铅笔测定法及 GB/T 9286—1998 色漆和清漆 漆膜的划格试验分别测定封孔层硬度、防潮涂层附着力。

2.3.4 介电性能测试

采用谐振法测试防潮涂层样品的介电常数和介电

损耗角正切,其测试的频率范围为12.4~18GHz。

2.3.5 温度冲击测试

-55℃保持 30min~+85℃保持 30min 为一次温度 冲击,循环次数 20 次温度转换时间≤5min,观察防潮 涂层是否存在龟裂、剥离或起皮现象。

2.3.6 防潮性能测试

a. 24h 泡水吸湿率

将防潮涂层样品浸泡于蒸馏水中 24h,测试吸湿率;

b. 交变湿热吸水率

图 1 为交变湿热试验一个循环周期(全过程湿度保持 95%),将防潮涂层样品进行 10 个周期交变湿热过程,测试吸湿率;吸湿率 a 按照式(1)计算:

$$a = (m_2 - m_1)/m_1 \times 100\% \tag{1}$$

式中: a——吸湿率,%; m_1 ——试样的初始质量,g; m_2 ——试验结束后试样质量,g。

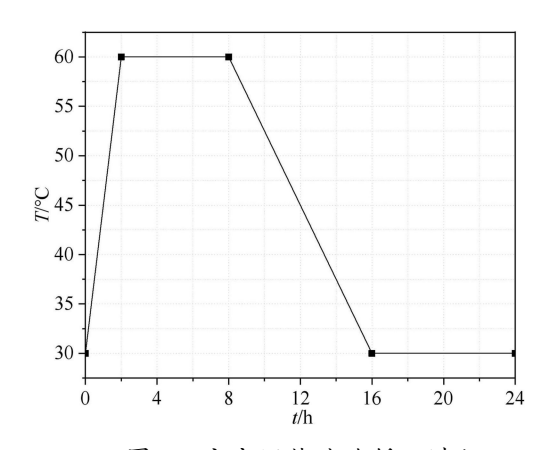


图 1 交变湿热试验循环过程

2.3.7 弯曲性能测试

采用 GB/T 1449—2005 纤维增强塑料弯曲性能试验方法测试防潮涂层样品的弯曲性能。

2.3.8 石英灯烧蚀试验

依据天线窗产品热环境条件进行 700℃的石英灯高温模拟热流试验,持续时间为 2min 左右,试验后采用 EDS 对烧蚀面进行元素分析。

2.3.9 组合级环境试验

依据型号环境考核条件对结构件与天线进行组合 级考核,依次包括:温度冲击、低温贮存、高温贮存、 加速度、振动及冲击试验。观察防潮涂层是否存在龟 裂、剥离或起皮并测试其透波性能。

3 结果与讨论

3.1 疏水性能测试结果及分析

图 2 为未疏水改性与疏水改性的 SiO_{2t}/SiO₂复合材料试样,其中图 2a 未做疏水,图 2b 疏水改性。可以看出,将去离子水滴在未疏水改性试样上,水会直接铺开在表面,材料对水的浸润性特别好,表现为亲水性。经过疏水改性,水呈现水滴状附着在表面,表现为疏水性。改性后,疏水剂中的憎水性基团将取代材料表面的大量亲水性基团 Si-OH。

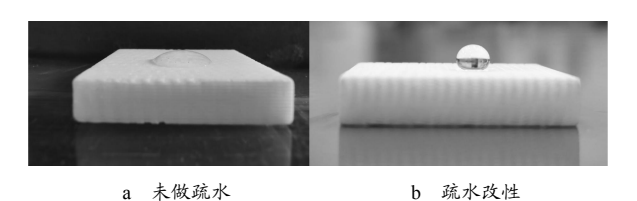


图 2 SiO_{2f}/SiO₂复合材料试样滴水效果

将 SiO_{2f}/SiO₂复合材料试样分别疏水改性 1h、3h、6h、9h、12h,其接触角如图 3 所示,接触角分别为130.546°、132.340°、137.291°、141.279°、141°。随着疏水改性时间增多,试样的疏水性能逐步提高,这是因为羟基被取代得更加完全。此外,可以发现从疏水9h增加到 12h,接触角几乎无变化,说明疏水 9h 已到达平台期,羟基已经被完全取代。因此,为了保证材料具有最佳的疏水效果,接下来的工艺采用的疏水改性时间为 9h。

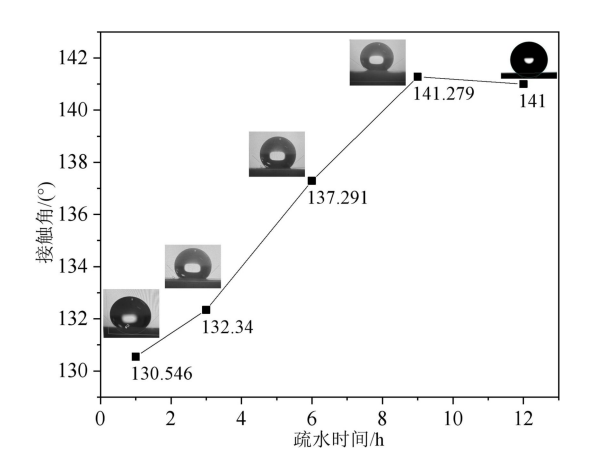
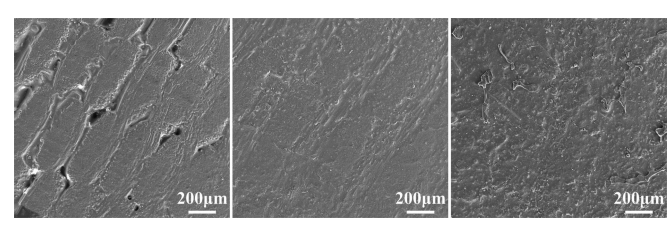


图 3 不同时间疏水改性后试样的接触角

3.2 微观形貌分析

图 4a、图 4b、图 4c 分别为初始试样、封孔后试样、面漆后试样的表面 SEM 图。可以看出初始试样存在大量的孔隙,是物理吸潮的主要通道;经过封孔层处理后试样表面的孔隙已经被填充,有效地降低了物理吸潮活性;面漆喷涂后,可以观察到试样表面形成了一层非常

致密的薄膜,可以进一步填充孔隙,并且薄膜本身具备 一定的疏水性能, 进一步增强材料的防潮性能。



a 初始试样

b 封孔层后试样

c 面漆层后试样

图 4 试样表面 SEM 图

3.3 涂层硬度、附着力分析

测试结果表明封孔层硬度为 6H, 防潮涂层附着力 为0级,封孔层结合力强,复合涂层与基体结合力好, 不易剥离,满足产品使用要求。

3.4 介电性能结果

未涂敷与涂敷防潮涂层样品的介电性能测试结果 如表 1 所示,涂层样品满足产品介电性能要求:介电常 数为 3.2 ± 0.1 ,损耗正切值 $<2\times10^{-2}$ (RT)。此外,经对 比发现,防潮涂层对基体的介电性能基本上无影响。

表 1 防潮涂层样品的介电性能结果

试样编号	未涂敷防潮涂层样品		涂敷防潮涂层样品		波段/GHz
	介电常数	损耗角正切	介电常数	损耗角正切	仮权/GHZ
1#	3.14	1.5×10 ⁻²	3.15	1.6×10 ⁻²	RT, 12.4~18
2#	3.18	1.4×10 ⁻²	3.18	1.4×10 ⁻²	RT, 12.4~18
3#	3.16	1.4×10 ⁻²	3.16	1.5×10 ⁻²	RT, 12.4~18
4#	3.17	1.5×10 ⁻²	3.18	1.6×10 ⁻²	RT, 12.4~18
5#	3.15	1.3×10 ⁻²	3.15	1.4×10 ⁻²	RT, 12.4~18

3.5 温度冲击试验结果分析



a 试验前内表面

b 试验后外表面



c 试验前外表面

d 试验后内表面

图 5 高低温温度冲击试验前后结构件表面图

将涂覆复合涂层的结构件进行20次的高低温温度 冲击试验,如图 5 所示,其中图 5a、图 5c 为试验前表 面图,图 5b、图 5d 为试验后表面图。可以看出,温冲 试验后,涂层完好无损,无任何裂纹、剥离、起皮等

现象,说明防潮涂层结合力强,同时具有一定的柔韧 性,可以匹配基体的热膨胀系数(基体的膨胀系数较 低: 1×10⁻⁶)。

此外,将涂覆复合涂层的结构件加严考核,进行 60 次高低温温度冲击试验,试验后涂层依然完好无损, 进一步表明涂层的优异抗温冲性能。

3.6 防潮性能分析

3.6.1 24h 泡水结果

未涂敷与涂敷防潮涂层样品泡水 24h 后增重率如 表 2 所示。可以看出涂敷防潮涂层后,样品 24h 泡水 增重率从10%左右降至0.4%左右,降低比为95%左右, 说明该涂层具有优异的防潮作用。这是由于硅羟基被 消除,封孔层起到了封闭气孔的作用,面漆层薄膜致 密完整, 避免水分子透过, 进而表现出良好的防潮效 果。

表 2 样品泡水 24h 质量变化结果

试样编号	未涂敷防潮涂层样品			涂敷防潮涂层样品			上始手 克 [// (T 1) // ()
	泡水前质量/g	泡水后质量/g	泡水增重率/%	泡水前质量/g	泡水后质量/g	泡水增重率/%	增重率降低比/%
1#	7.15	7.88	10.21	7.50	7.53	0.40	96.08
2#	7.23	7.87	8.85	7.62	7.65	0.39	95.55
3#	7.12	7.79	9.41	7.48	7.52	0.53	94.32
4#	7.47	8.20	9.77	7.85	7.88	0.38	96.09
5#	7.26	7.93	9.23	7.63	7.66	0.39	95.74

3.6.2 交变湿热结果

未涂敷与涂敷防潮涂层结构件十周期交变湿热后 增重率如表 3 所示。可以看出涂敷防潮涂层后,结构

件湿热后增重率从8%左右降至0.6%左右,降低比为 93%左右,说明该涂层在交变湿热环境中依然保持优 异的防潮性能。

₩ 壬 克 W M 11 / 10 /	
增重率降低比/%	
93.61	
92.95	
92.04	
_	

表 3 样品十周期交变湿热质量变化结果

此外,将同批的5个涂覆涂层介电试样进行湿热前后介电常数和介电损耗的测试,结果如表4所示。经过

十个周期的交变湿热,涂层试样的介电性能几乎无变 化,说明交变湿热过程基本不会降低产品的透波性能。

试样编号	湿热测试前		湿热测试后		波段/GHz
	介电常数	损耗角正切	介电常数	损耗角正切	/汉权/GHZ
1#	3.15	1.3×10 ⁻²	3.15	1.4×10 ⁻²	RT, 12.4~18
2#	3.12	1.4×10 ⁻²	3.13	1.6×10 ⁻²	RT, 12.4~18
3#	3.13	1.5×10 ⁻²	3.14	1.5×10 ⁻²	RT, 12.4~18
4#	3.16	1.2×10 ⁻²	3.16	1.3×10 ⁻²	RT, 12.4~18
5#	3.13	1.3×10 ⁻²	3.15	1.4×10 ⁻²	RT, 12.4~18

表 4 交变湿热前后防潮涂层样品的介电性能结果

3.7 弯曲性能分析

未涂敷与涂敷防潮涂层试样的经向弯曲位移-力曲线图如图 6 所示。经过计算得到未涂覆防潮涂层试样的弯曲强度为 62MPa,涂覆防潮涂层试样的弯曲强度达到 83MPa,提高了 33.9%。未涂覆防潮涂层的试样表面粗糙,存在大量的微裂纹,由于应力集中等造

成弯曲强度较低。经过防潮涂层的增强后,虽然试样 依然表现出脆性断裂,但是试样断裂位移增加,说明 其断裂前可以吸收更多能量,提高抗弯强度。这是因 为防潮涂层将多孔基体的孔隙都填充了,提高基体的 弯曲性能。

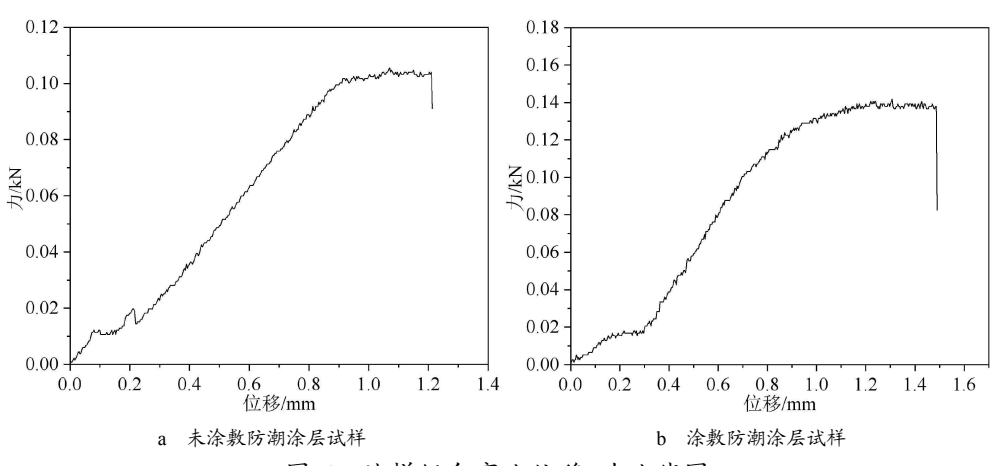


图 6 试样经向弯曲位移-力曲线图

3.8 石英灯烧蚀结果与分析

图 7a、图 7d 为 SiO_{2f}/SiO₂复合材料结构件烧蚀前表面形貌图,图 7b、图 7e 为烧蚀后表面形貌图。烧蚀后,表面呈现大面积黄色区域,几乎无黑色区域,说明涂层的残碳极少,不会对结构件的透波性能产生较大的影响。图 7c、图 7f 为 SiO_{2f}/SiO₂复合材料结构件烧蚀后表面的局部 EDS 结果,烧蚀后涂层以 Si 和 O

元素为主,进一步表明涂层残碳极少。此外,对烧蚀前后的复合材料进行介电常数和介电损耗测试,结果如图 8 所示。可以看出,烧蚀后介电常数变化不大,但是介电损耗存在一定的增大,这是由涂层在高温下产生的少量残碳导致的。但是经过高温烧蚀,复合材料的介电性能依然满足使用要求,说明防潮涂层的高温透波性能满足使用要求。

设计·工艺

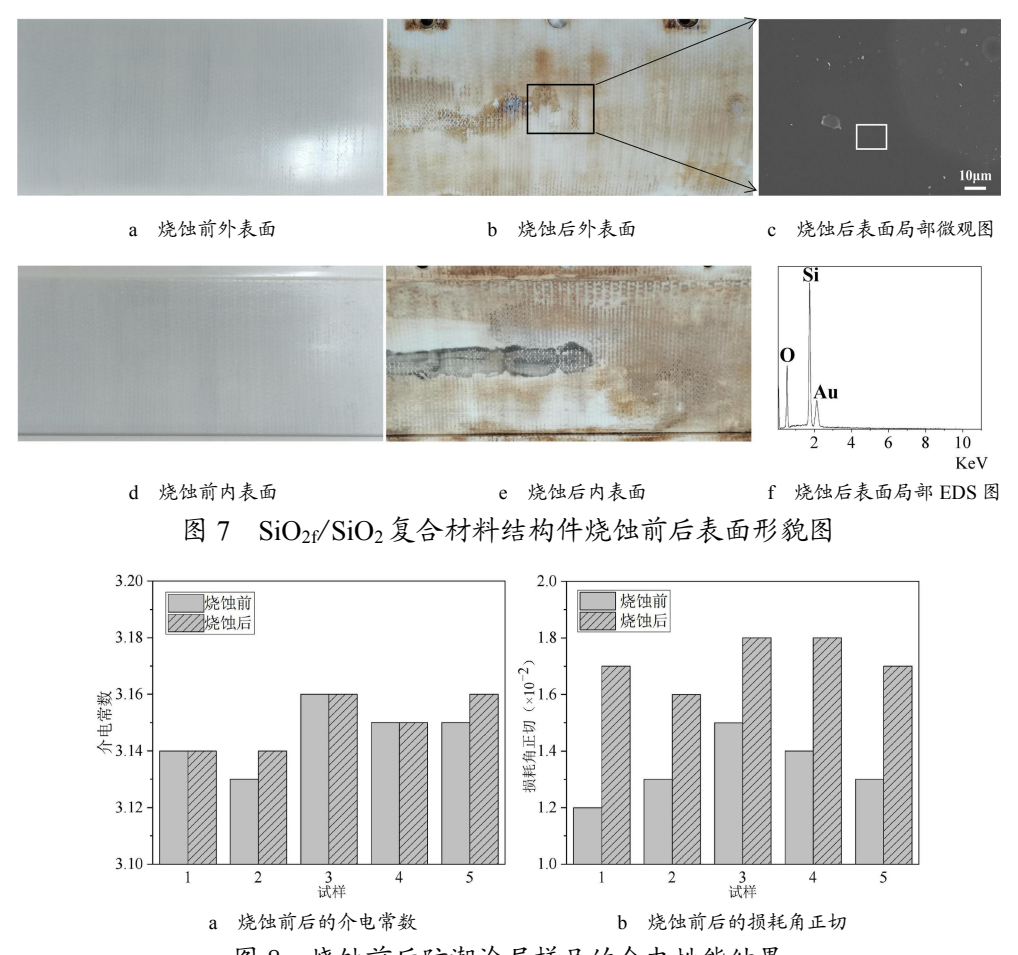
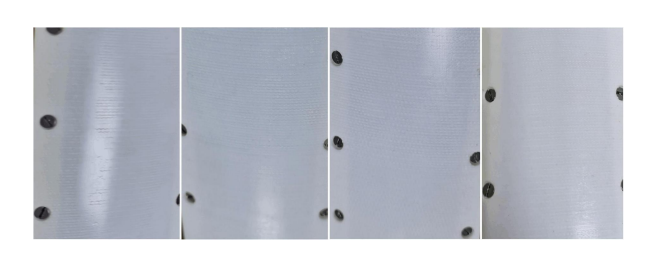


图 8 烧蚀前后防潮涂层样品的介电性能结果

3.9 组合级环境试验分析

经过系列化的组合级环境试验考核,4件结构件的表面形貌图如图9所示。试验后,防潮涂层完好无损,不存在任何裂纹、剥离及起皮等;同时对试验前后的涂层样品级介电性能进行测试,如图10所示。试验前后涂层样品的介电性能无变化,说明结构件的透波性能无变化,防潮涂层通过组合级环境试验考核。结果进一步表明涂层完好无损且未发生失效,其环境适应性较强。



a 1#试验件 b 2#试验件 c 3#试验件 d 4#试验件

图 9 SiO_{2f}/SiO₂复合材料结构件组合级环境试验后

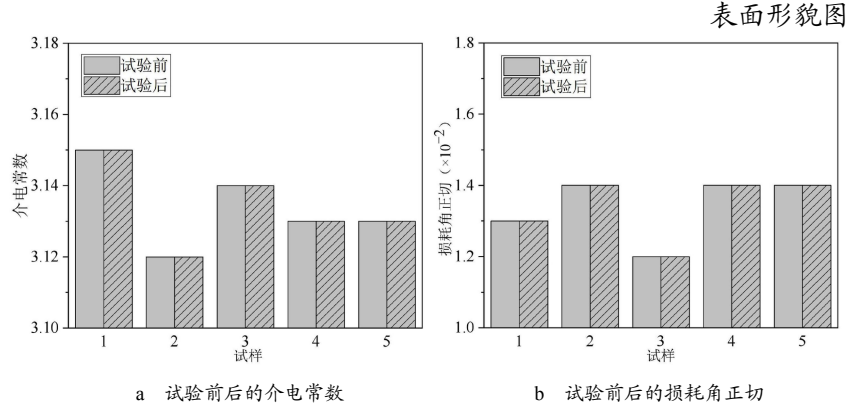


图 10 组合级环境试验前后防潮涂层样品的介电性能结果

(下转第21页)